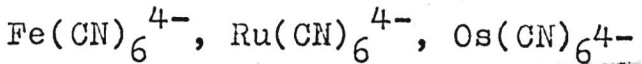


03 - C

1989

VI-843



(γ_i , силовые постоянные)

Salvetti O.

Ricerca scient., 1959, 29, N3, 531-540.

Силовые постоянные в октаэдрических молекулярных структурах комплексных гексацианидов.

RX., 1959, N24, 84863. J

$[Os(CN)_6]^{4-}$ Koen Shimaneuchi 1962
etc y Yippura

U.K.

oneiro

Nakagawa Y. Shimaneuchi
T. /

Spectrochim. acta

1962, 18 (1), 101-13

A-531

1962

Vi, sil.post./ $\text{Ag}(\text{CN})_2$,

$\text{Au}(\text{CN})_2$, $\text{Hg}(\text{CN})_2$, $\text{Cu}(\text{CN})_4$, $\text{Zn}(\text{CN})_4$, $\text{Cd}(\text{CN})_4$,

$\text{Hg}(\text{CN})_4$, $\text{Ni}(\text{CN})_4$, $\text{Pd}(\text{CN})_4$, $\text{Pt}(\text{CN})_4$, $\text{Au}(\text{CN})_4$,

$\text{Cr}(\text{CN})_6$, $\text{Mn}(\text{CN})_6$, $\text{Fe}(\text{CN})_6$, $\text{Ru}(\text{CN})_6$, $\text{Os}(\text{CN})_6$,

$\text{Co}(\text{CN})_6$, $\text{Rh}(\text{CN})_6$, $\text{Ir}(\text{CN})_6$, $\text{Mo}(\text{CN})_8$ /.

Mathien J.P., Poulet H.

Advances Molec. Spectrosc. v.3, 1962, 1016-24.

Relations entre le spectre de vibration et la structure des cyanures complexes.

PJX, 1963, 15687 J, Est/orig.

VI-4025

1964

VI₂(M(CO)₅)₅X, M=Mn, Re, Cr, Mo, W;
X=Cl, Br, J)

M(CO)₄X₂ (M=Fe, Os; X=Cl, Br, J)

Bennett M.A., Clark R.J.H.

J. Chem. Soc., 1964, Suppl. N 1, 5560-68

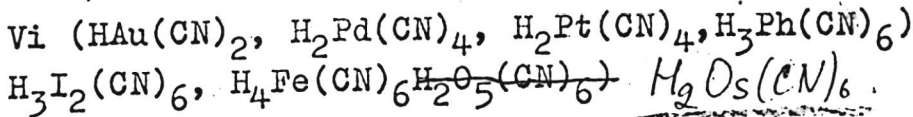
Low frequency infrared spectra of metal carbonyl halides and their derivatives.

PJF, 1966, 1D282

J.

3152-VI.

1964



Evans D.F., Jones D., Wilkinson G.

J.Chem. Soc., 1964, Sept, 3164-67

Infrared spectra of anhydrous complex cyanide acids.

PJX, 1965, 115174

J.

1965

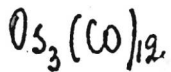
1 Д286. ИК-спектры тримера тетракарбонила осмия
 $\text{Os}_3(\text{CO})_{12}$. Отнесение частот валентных колебаний CO
 и MC. Huggins D. K., Flitcroft N., Kaesz H. D.
 Infrared spectrum of osmium tetracarbonyl trimer,
 $\text{Os}_3(\text{CO})_{12}$; assignment of CO and MC stretching absorp-
 tions. «Inorgan. Chem.», 1965, 4, № 2, 166—169 (англ.)

Приведены спектры $\text{Os}_3(\text{CO})_{12}$ в области 290—
 3000 см^{-1} . С использованием упрощенных вековых ур-ний
 Коттона и Крайханцеля предложено отнесение четырех
 частот вал. кол., основанное на относит. порядках свя-
 зей, ожидаемых в каждом из двух различных типов
 карбонильных групп с учетом взаимодействия между ни-
 ми. Из анализа интенсивностей полос следует, что осе-
 вые и радиальные моды не разделены столь отчетливо,
 как принято при рассмотрении методом теории групп.
 Вал. кол. металл-углерод в области 400—500 см^{-1} ориен-
 тировочно отнесены путем сравнения со спектрами ана-
 логичных соединений.

Ф. 1966.

18

1965



спектр

17 Б101. Инфракрасный спектр тримера тетракарбонила осмия $\text{Os}_3(\text{CO})_{12}$. Отнесение полос валентных колебаний CO и MC. Huggins D. K., Flitcroft N., Kaesz H. D. Infrared spectrum of osmium tetracarbonyl trimer, $\text{Os}_3(\text{CO})_{12}$; assignment of CO and MC stretching absorptions. «Inorgan. Chem.», 1965, 4, № 2, 166—169 (англ.)

Получен ИК-спектр в области $290—3000 \text{ см}^{-1}$, $\text{Os}_3(\text{CO})_{12}$. На основе структуры с симметрией D_{3n} , в которой атомы Os образуют трехчленный цикл, проведен анализ нормальных колебаний молекулы. Сопоставление расчета с эксперим. данными показывает, что в действительности не имеет места четкое разделение колебаний двух различных типов карбонильных групп (радиальные и осевые). К вал. кол. M—C отнесены 4 полосы в области $400—500 \text{ см}^{-1}$: 413, 466, 477 и 432 (или 498 см^{-1}). Б. Локшин

ж. 1965. 17

$\text{Ru}(\text{CO})_5$, $\text{Os}(\text{CO})_5$

VI-4586
1967

(Vi, stroenie)

$\text{RuX}_2(\text{CO})_4$ (zhe X- zapozhen, stroenie)

Calderazzo F., L'eplattenier F.

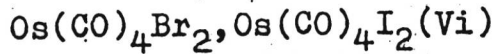
Inorg. Chem., 1967, 6, N6, 1220-24.

The pentacarbonyls of ruthenium and osmium. I. Infrared spectra and reactivity.

Est/F.

RF., 1968, 4D293 J

Edu Ph. R.



VI-5666

1967

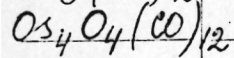
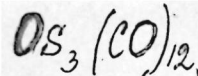
Hales L.A.W., Irving R.J.

J.Chem.Soc.A, 1967(8), 1389-92.

Osmium carbonyl halides and their derivatives. The infrared spectra of osmium tetracarbonyl halides and related compounds.

J,

CA, 1967, 67, N16, 77582g

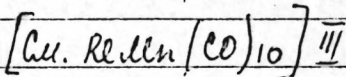


Johnson, B.F.G. и др.

1967

J. Chem. Soc., A 1967, № 2, 341

Класс-системы неорганических
молекул. Часть II. Многоатом-
ные карбонильные переходных
металлов.



1967

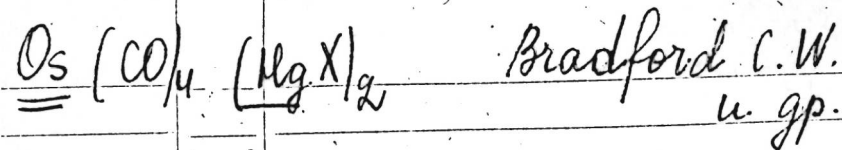
$\text{Os}(\text{CO})_4\text{Br}_2$

77582g Osmium carbonyl halides and their derivatives.
I. The infrared spectra of osmium tetracarbonyl halides and related compounds. L. A. W. Hales and R. J. Irving (Univ. Surrey, London). *J. Chem. Soc., A* 1967(8), 1389-92(Eng). The ir spectra of $\text{Os}(\text{CO})_4\text{Br}_2$ and $\text{Os}(\text{CO})_4\text{I}_2$ have been recorded and the carbonyl bands assigned through force-const. calcns. Assignments have also been made for some tetracarbonyl halide compds. of Fe, Ru, Mn, Tc, and Re. 15 references. RCGF

104

C.A. 1967. 47. 16

1968

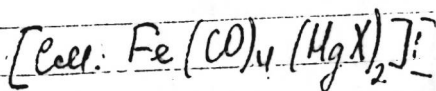


X = Cl, Br, I

J. Chem. Soc., A, v 19,
2456.

V_i

flameless & non-
measurable crucible



1978

 $\text{Os}(\text{CO})_{12}$ $\text{Os}(\text{CO})_{10}$

J

 $X = \text{Cl}, \text{Br}$

20 Б226. Колебательные спектры и строение некоторых производных триосмийдодекакарбонила. Hertlev D., Kilty P. A., Wade M. J. The vibrational spectra and structures of some derivatives of triosmium dodecacarbonyl. «Chem. Communns», 1968, № 9, 493—494 (англ.)

Получены ИК-спектры и спектры КР в области вал. кол. металл — металл (100 — 200 см^{-1}) $\text{Os}(\text{CO})_2$ (I), $\text{Ru}(\text{CO})_{12}$ (II), а также ряда в-в типа $\text{Os}(\text{CO})_{10}\text{X}_2$, где $X = \text{Cl}$ (III), Br (IV), J (V) и OMe (VI). Спектры I и II соответствуют симметрии скелета связей металл — металл D_{3h} , которая для I была ранее установлена рентгеноструктурным методом. Для III—V спектры находятся в соответствии с линейной структурой XOs_3X (симметрия

Х. 1968, № 20

X

с учетом карбонильных групп D_{4h}). Для VI установлена структура с тремя атомами Os в цикле, причем одна из связей металл—металл отличается от двух других, т. к. только при двух атомах Os имеются группы OMe. Симметрия скелета C_{2v} . Проведен расчет силовых постоянных для связей металл—металл во всех изученных соединениях. Для VI величина силового коэф. показывает, что одна из связей Os—Os имеет повышенную кратность. Проведено также отнесение полос, характеризующих связи M—X.

Б. Локшин

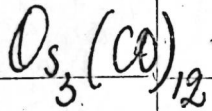
$\text{Os}_3(\text{CO})_{12}$
1968
U.V. Cope

(14248y) The vibrational spectra and structures of some derivatives of triosmium dodecacarbonyl. Hartley, D.; Kilty, P. A.; Ware, M. J. (Univ. Manchester, Manchester, Engl.). *Chem. Commun.* 1968, (9), 493-4 (Eng). The Raman and ir spectra of $\text{Os}_3(\text{CO})_{12}$, $\text{Os}_3(\text{CO})_{12}\text{X}_2$ ($\text{X} = \text{Cl}, \text{Br}, \text{I}$), and $\text{Os}_3(\text{CO})_{10}\text{R}_2$ ($\text{R} = \text{OMe}, \text{H}$) were recorded in the solid state to det. the geometry of the M-M (M = metal) skeletons. Approx. force consts., based on the pseudotriat. $[\text{Os}(\text{CO})_4]_3$ system are tabulated and are comparable with the values found for related M-M compds. The results are consistent with the model in which the Os atoms are located at the corners of an equilateral triangle. The vibrational spectra of the dihalides provides strong evidence for a linear XOs_3X mol. structure with a point group of $D_{\infty h}$ or D_{4h} if the CO ligands are included. The vibrational spectra of $\text{Os}_3(\text{CO})_{10}(\text{OMe})_2$ contains 3 very strong Raman lines attributable to $\nu(\text{M}-\text{M})$ which suggests a mol. of lower symmetry having 3 Os-Os bonds. The most probable arrangement of Os atoms is at the apices of an isosceles triangle (point group C_{2v}); 1 Os-Os bond differs from the other 2 due to the presence of the 2 MeO groups.

CJJN

C.A. 1968. 69. 4

1968



9 Б207. Частоты в спектрах комбинационного рас-
сения металлических кластеров $\text{Os}_3(\text{CO})_{12}$ и $\text{Ru}_3(\text{CO})_{12}$.
Quicksall Carl O., Spiro Thomas G. Raman
frequencies of metal cluster compounds: $\text{OS}_3(\text{CO})_{12}$ and
 $\text{Ru}_3(\text{CO})_{12}$. «Inorgan. Chem.», 1968, 7, № 11, 2365—2369
(англ.)

Получены ИК-спектры и спектры КР $\text{Os}_3(\text{CO})_{12}$ (I) и
 $\text{Ru}_3(\text{CO})_{12}$ (II), имеющих строение с тремя связями
металл — металл, расположенных по треугольнику. Про-
веден теоретич. анализ числа и типа полос в спектрах
и проведено их примерное отнесение. Показано, что для
объяснения спектров в области полос вал. кол. CO не-
обходимо допустить наличие взаимодействия между
колебаниями карбонильных групп при разных атомах
металла, сравнимого по величине с взаимодействием
двух соседних групп CO. К колебаниям металлов — ме-
таль отнесены две интенсивные полосы в спектре КР
при 158 и 117 см^{-1} для I и 185 и 149 см^{-1} для II.
Остальные полосы поглощения для I и II очень близки.

x. 1969 . 9

X

Частоты симм. вал. кол. металлич. кольца весьма характеристичны, т. к. мало смешаны с деф. кол. МС. Для колебаний типа Е' вклад последних в колебание гораздо более существенен. Отношение частот для двух полос вал. кол. М—М близко к тому, к-рое ожидается на основании расчета в простейшем приближении с учетом только атомов металла. Силовые коэф. связей М—М получены для I и II соответственно 0,91 и 0,82 мдн/А.

Б. Локшин

1968

 $\text{Os}_3(\text{CO})_{12}$

6 Д411. Спектры комбинационного рассеяния комплексных соединений $\text{Os}_3(\text{CO})_{12}$ и $\text{Ru}_3(\text{CO})_{12}$. Qui-c-k-sall Carl O., Spiro Thomas G. Raman frequencies of metal cluster compounds: $\text{Os}_3(\text{CO})_{12}$ and $\text{Ru}_3(\text{CO})_{12}$. «Inorgan. Chem.», 1968, 7, № 11, 2365—2369 (англ.)

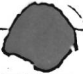
С помощью Не—Не-лазера исследованы спектры комб. рас. кристаллов $\text{Os}_3(\text{CO})_{12}$ и $\text{Ru}_3(\text{CO})_{12}$, а также спектры ИК-поглощения этих соединений в области 400—2000 cm^{-1} (в прессовках КBr). Комплексные соединения $\text{Me}_3(\text{CO})_{12}$ в кристаллич. фазе имеют симметрию, близ-

сим. пост.

+1

р. 1969.

68



☒

ую к D_{3h} . В области $1950-2150 \text{ см}^{-1}$ расположены частоты вал. кол. карбонила, в области $650-350 \text{ см}^{-1}$ — вал. кол. металл — углерод и деф. кол. карбонила. Основное внимание в работе уделено низкочастотной области спектра (частоты меньше 200 см^{-1}), в которой расположены вал. кол. металл — металл и деф. кол. металл — углерод. Предложена интерпретация НЧ-спектра соединений $\text{Cs}_3(\text{CO})_{12}$ и $\text{Ru}_3(\text{CO})_{12}$. С помощью динамич. матрицы вычислены силовые постоянные для НЧ-колебаний, а также проведен анализ норм. координат этих колебаний. Библ. 19. С. А. Пермогоров

1968

Os₃(CO)₁₂

Vi

C. A. No. 1

107065b Raman frequencies of metal cluster compounds: Os₃(CO)₁₂ and Ru₃(CO)₁₂. Quicksall, Carl O.; Spiro, Thomas C. (Princeton Univ., Princeton, N.J.). *New Aspects Chem. Metal Carbonyls Deriv., Int. Symp., Proc., 1st 1968*, F6/20 pp. (Eng). Inorg. Chim. Acta: Padua, Italy. Raman and ir spectra are reported for the triangular, nonbridged cluster compds. Os₃(CO)₁₂ and Ru₃(CO)₁₂. Assignment of the CO stretching frequencies requires that stretch-stretch interaction across the triangles be comparable in magnitude to interaction across a single metal atom. The low-frequency Raman spectrum shows 2 sharp bands assignable to the stretching of metal-metal bonds. A normal coordinate anal. reveals that the mixing of metal-C deformation with metal-metal stretching coordinates is slight for the A_{1'} and moderate for the E' cluster modes. The frequency ratio of the 2 bands is recognizably close to that predicted from a simple cluster approxn. The values of the metal-metal stretching force const. are 0.91 and 0.82 millidynes/A. for Os₃(CO)₁₂ and Ru₃(CO)₁₂, resp.

RCTT

+1

C.A. 1969.

21. 22



$Os(CO)_4X_2$

1968

1) 6 Б233. Спектроскопическое изучение некоторых карбонилпроизводных осмия. Valenti Venanzio,
S.gamelliotti Antonio, Cariati Franco. Studio spettroscopico di alcuni carbonilderivati di osmio.
«Gazz. chim. ital.», 1968, 98, № 8—9, 978—982 (итал.;
рез. франц., англ.)

Изучены ИК-спектры соединений $Os(CO)_4X_2$ ($X = Cl$,
Вг, Н, D). Предложено отнесение частот вал. кол. CO
и рассчитаны значения силовых коэф. связей CO—
транс и CO—цик. Оценено взаимодействие (в терминах
силовых коэф.) между связями Os—Н и CO.

Б. Рассадин

стаб. норм.

Х. 1969. 6

$\text{Fe}(\text{CO})_4\text{Y}_2$	(0i)	6	VI 6794	1969
$\text{Os}(\text{CO})_4\text{Y}_2$				
Pankowski, M.; Bigorghe, M., J. Organometal. Chem., 1969, 19(2), 393-8!				
Trans isomers of tetracarbonyl halides of iron, ruthenium, and osmium.				
10	6		CA, 1969, 41, N24, 1191172	

Os₃(CO)₁₂

Poliakov II
Turner F.J.

1971

cuestip

6

scadpuse

J. Chem. Soc. 1971, A,
IV, 654-658

7i



[C₆₀ Fe₃(CO)₁₂]^{III}

1971

$\text{O}_2\text{S}_3(\text{CO})_{12}$

Turner F.Y.
Poliakov I.I.

see entry

8

see above

?i

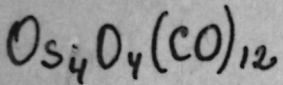
J. Chem. Soc., A, 1971,

4, 654.



[Cer. $\text{Fe}_3(\text{CO})_{12}$] III

1972.



(Vi)

107160u Vibrational spectrum of the molecules $\text{Os}_4\text{O}_4(\text{CO})_{12}$.
van Bronswyk, W.; Clark, R. J. H. (Christopher Ingold Lab., Univ. Coll., London, Engl.). *Spectrochim. Acta, Part A* 1972, 28(7), 1429-33 (Eng). The ir and Raman spectra of the mol. $\text{Os}_4\text{O}_4(\text{CO})_{12}$ were obtained at $2200-67 \text{ cm}^{-1}$. The soln. data in the CO stretching region indicate that the mol. has T_d symmetry in soln. On the basis of a partial normal coordinate anal., approx. CO stretching force consts. were calcd.

C.A. 1972. 77. N16

$\text{Os}_4\text{O}_4(\text{CO})_{12}$

1972

23 Б224. Колебательный спектр молекулы $\text{Os}_4\text{O}_4(\text{CO})_{12}$. Bronswyk W. van, Clark R. J. H. The vibrational spectrum of the molecule $\text{Os}_4\text{O}_4(\text{CO})_{12}$. «Spectrochim. acta», 1972, A28, № 7, 1429—1433 (англ.)

Исследован ИК-спектр ($2200—67 \text{ см}^{-1}$) и спектр КР (возбуждение — Не/Не-лазер, 6328А) в тв. состоянии и р-рах $\text{Os}_4\text{O}_4(\text{CO})_{12}$. Показано, что в р-рах молекула имеет тетраэдрич. симметрию T_d . Проведено отнесение полос вал. кол. СО по типам симметрии: 2123 см^{-1} (A_1), 2097 см^{-1} (T_2), 2026 см^{-1} (E) и 2015 см^{-1} (T_2). В приближении Коттона—Крейханцеля проведен расчет силовых коэф. групп СО: $K=16,2$, $k_1=0,48$, $k_2=0,07$ и $k_3=0,02$ мдн/А.

Б. Локшин

X-1972-23

1973

$Os_3(CO)_{12}$

Korolkov, D.V., et al;

Z. Phys. Chim.,

1973, 253(I-2), 25-32.

γ; cerc.
noct.

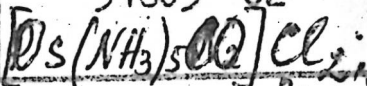
(cav. $Mn_2(CO)_{10}$; "')

40329.4569

31603 02

1974

Ph, Te, Ch



1965

Bee M.W., Kettle S.F.A., Powell D.B.

Vibrational spectra of ruthenium and osmium pentammine carbonyls and nitroge-
nyles. "Spectrochim. acta", 1974, A30,
N 3, 585-596

(англ.)

0074 ник

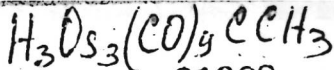
060 061

467

ВИНИТИ

50604.1974

Ch, Ph, B, TC



Сибирск. Надежда

k N 50604.1973

1974

4081

Buckingham A., D. Molecular structure determination by NMR spectroscopy.

"Pure and Appl. Chem.", 1974, 40, N 1-2,

1-11

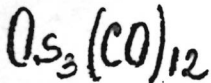
(англ.)

0375 ник

349 351 0 5 6 6

ВИНИТИ

1974



Электро-
строение
(80)

20 Б25. Электронное строение и природа связей в трехъядерных металл-кластерах $\text{Os}_3(\text{CO})_{12}$ и $\text{Re}_3\text{Cl}_{12}^{3-}$. Корольков Д. В., Миснер Х. «Вестн. Ленингр. ун-та», 1974, № 10, 74—83 (рез. англ.)

В рамках расширенного метода МО Хюкеля с итерацией по эффективным зарядам на атомах металла изучено электронное строение трехъядерных кластеров $\text{Os}_3(\text{CO})_{12}$ (I) и $\text{Re}_3\text{Cl}_{12}^{3-}$ (II). На основе рассчитанных характеристик (порядки связей, энергии и состав МО) обсуждена природа связей М—М и связей между атомами М и лигандами. В I связь М—М имеет в основном σ -характер и осуществляется за счет трех верхних занятых МО e' и a_1' , к-рые одновременно являются σ -разрыхляющими относительно взаимодействий М—лиганд. В II связь М—М включает взаимодействия σ - и π -типа и образуется за счет шести верхних занятых «металлических» МО a_1' , a_2'' , e' и e'' . Суммарная энергия связей М—М оценивается величинами 85 ккал для I и 312 ккал для II. Дано также обсуждение природы различных связей в родственных соединениях, включающих трехъядерные группировки из атомов Fe и Co.

Автореферат

(71)

x. 1974. N 20

Osc
Osc₂

Omura 7646 | 1978
Franke Gingrich |

Gingrich K., et al.

(Harauz)

Inorg. chim. acta,
1978, 28(2), L171-L172.

(Cu-Ce-Os; III)



1978

Hooescroft Catherine E.

J. Chem. Soc. Chem. Commun.

1978, N17, 765-66

pacem
merri
clayton



$\text{Os}(\text{CO})_4$

1978

Pauling L.

однок
волну.
уров

Proc. Nat. Acad. Sci. USA, 1978,
75 N1, 12-15

cat. $\text{Fe}(\text{CO})_5 - \text{II}$

$\text{Os}_3(\text{CO})_{12}$
 $\text{Os}_6(\text{CO})_{18}$

результаты.

(+)

дек. 1949, N 15

15 Б120. Исследования кластерных соединений карбонилов металлов $\text{Os}_3(\text{CO})_{12}$, $\text{Ru}_3(\text{CO})_{12}$ и $\text{Os}_6(\text{CO})_{18}$ с помощью фотоэлектронной спектроскопии. Green Jennifer C., Seddon Elaine A., Mingos D. Michael P. U. V. photoelectron spectral studies on the metal carbonyl cluster compounds $\text{Os}_3(\text{CO})_{12}$, $\text{Ru}(\text{CO})_{12}$ and $\text{Os}_6(\text{CO})_{18}$. «J. Chem. Soc. Chem. Commun.», 1979, № 3, 94—95 (англ.)

Измерены фотоэлектронные спектры (ФЭС) кластерных карбонилов осмия и рутения $\text{Os}(\text{CO})_{12}$ (I), $\text{Ru}_3(\text{CO})_{12}$ (II), $\text{Os}_6(\text{CO})_{18}$ (III), возбуждаемые Не-I и Не-II. При интерпретации ФЭС I и II использовалась упрощенная схема молек. орбиталей, по аналогии с молекулой циклопропана экваториальное расположение атомов металла — D_{3h} с локальной симметрией фрагментов $M(\text{CO})_4-C_{2v}$. В ФЭС всех трех соединений выделены две группы полос, соотв.-щих ионизации d -орбиталей металла (I — 7,7, 8,0, 9,4, 10,1 эв, II — 7,83, 8,28, 8,50, 9,24, 9,60, 10,44 эв. III — 7,50, 8,09, 9,47, 10,44 эв) и орбиталей, локализованных главным образом на лиганде (13—16 эв — $5\sigma + 1\pi$, 18 и 21 эв — 4σ). Увеличение числа полос в ФЭС II по сравнению с I объясняется спин-орбитальным расщеплением. Сде-

лан вывод, что в отличие от циклопропана наиболее высоколежащей занятой молек. орбиталью I и II является $2a'$, а не $2e'$. Отмечается, что, хотя миним. энергия ионизации при увеличении вдвое числа атомов металла в кластере ($\text{II} \rightarrow \text{III}$) и уменьшается (на 0,3 эв), она остается значительно выше (~на 3 эв) величины работы выхода для металла как в случае чистой поверхности, так и для поверхности металла с хемосорбированной на ней окисью углерода. Это указывает на значит. различия в электронных характеристиках кластеров металлов и поверхностей металлов. В. М. Ковба

пикс
о с

Os₃(CO)₁₂ 7654 1949
Os₆(CO)₁₈ 7 Д383. Исследование методом УФ-фотоэлектронной спектроскопии металл-карбонильных кластеров Os₃(CO)₁₂, Ru₃(CO)₁₂ и Os₆(CO)₁₈. Green J. E., Seddon K., Elaïne A., Mingos D. Michael P. U. V. photoelectron spectral studies on the metal carbonyl cluster compounds Os₃(CO)₁₂, Ru₃(CO)₁₂ and Os₆(CO)₁₈. «J. Chem. Soc. Chem. Commun.», 1979, № 3, 94—95 (англ.).

Получены HeI (58,4 нм) — HeII (30,4 нм) — фотоэлектронные спектры газообразных молекул Os₃(CO)₁₂, Ru₃(CO)₁₂ и Os₆(CO)₁₈. С использованием качественных диаграмм молекулярных орбиталей, а также зависимости интенсивностей полос от энергии ионизирующих фотонов показано, что верхней заполненной орбиталью является 2a', а не 2e', как считалось ранее. Показано, что несмотря на сходство кластеров с соответствующими металлическими поверхностями, покрытыми слоем адсорбированных молекул CO, размеры кластеров слишком малы для проведения достоверных аналогий. Так, потенциалы ионизации кластеров отличаются от значений работы выхода металлических поверхностей, покрытых CO, на ~3 эВ.

РГБ ФИ, 1949, №

O₃C(2) Gingerich K. A., 1979
O₃Ca(2) Mass spectrometric determina-
tion of atomization energies of
inorganic molecules and their
correlation by empirical mo-
dels of bonding.
Do, Damon. 10 th Materials Research Sympo-
sium on characterization of
high temperature, vapors and
gases.

NBS Special Publication 561

Volume 1, 1979, 289-302.
(*y* *Syphura*).

$O_5(CO)_{12}$

1979

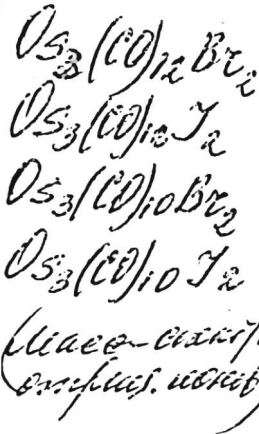
Frogler W. C., et al.

Report 1979, CONF-790652
4 pp.

unpublished.
emulsion

coll. RL₃ Clg - II

1949



15 Б104. Масс-спектры отрицательных ионов комплексов $\text{Os}_3(\text{CO})_{12}\text{X}_2$ и $\text{Os}_3(\text{CO})_{10}\text{X}_2$ ($\text{X}=\text{Br}, \text{J}$). Vagliano G. A. Negative ion mass spectra of $\text{Os}_3(\text{CO})_{12}\text{X}_2$ and $\text{Os}_3(\text{CO})_{10}\text{X}_2$ complexes ($\text{X}=\text{Br}, \text{J}$). «J. Organometal. Chem.», 1979, 169, № 1, 83—85 (англ.)

Изучены масс-спектры отриц. ионов (70 эв) $\text{Os}_3(\text{CO})_{12}-\text{X}_2$ (I, везде $\text{X}=\text{Br}$ или J) и $\text{Os}_3(\text{CO})_{10}\text{X}_2$ (II), в к-рых отсутствуют молек. ионы (M^-). Наиболее интенсивными в спектрах I являются ионы ($M-\text{3CO})^-$. В случае II высокой интенсивностью обладают ионы ($M-\text{CO})^-$. Различия в поведении I и II обсуждены с позиций возможности делокализации отриц. заряда в кластерных системах и могут быть использованы при идентификации их структуры.

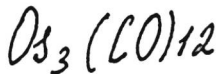
Д. В. Загоревский



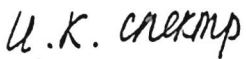
2.1949, N15

OMMOCCA 10126

1980

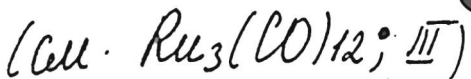


Battiston F.A., et al.,



Inorg. Chem., 1980, 19, N⁷,
1941-1973.

Di



$\text{Os}_3(\text{CO})_{12}$ [ommeca 10125] 1980

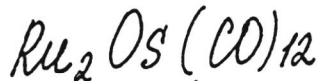
Battiston G. R.; et al.

U.K. comp
(μ)

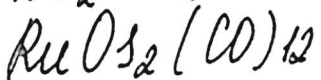
Inorg. Chem., 1980, 19
1973-77

Lemmerling 10126]

1980



Battiston F.A., et al.



Inorg. Chem., 1980,
19, N⁷, 1961-1973.

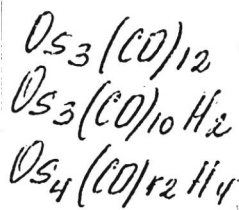
U.K. Czechoslovakia

Pt (B₁-He)

(act. Ru₃(CO)₁₂; III)

1980

10 Б105. Изучение карбонилгидридных кластеров методом фотоэлектронной спектроскопии и разработка топологической модели связей. Green C. D. M., Mignos P., Seddon E. A. UV photoelectron spectral studies of carbonyl-hydridoclusters and the development of a topological bonding model. «J. Organometal. Chem.», 1980, 185, № 2, C20—C24 (англ.)



Фотоэл.
спектр

47

2.1980.11.10

Измерены фотоэлектронные спектры (ФЭС) с возбуждением He-I и He-II соединений: Re₃(CO)₁₂H₃ (I), Os₃(CO)₁₂ (II), Os₃(CO)₁₀H₂ (III) и Os₄(CO)₁₂H₄ (IV). Проведено сопоставление спектров изоэлектронных соединений I и II. Появление широкой полосы в ФЭС для I с потенциалом ионизации (ПИ) ~12 эв объясняется наличием в этом случае связи Re—H—Re. В ФЭС III и IV также найдены аналогичные пики при ПИ ~11,9—12,7 эв, отсутствующие, как следует из лит. данных, в ФЭС соединения Jr₄(CO)₁₂, изоэлектронного IV. Предположено, что уменьшение интенсивности полосы при ПИ ~12 эв при переходе от ФЭС He-I к ФЭС He-II кластера I, обусловлено более сильной локализацией связи Re—H—Re на атоме H, чем на атомах металла. По аналогии с боранами, разработана топологич. модель связей в металл-гидридных кластерах, к-рая хорошо согласуется с лит. кристаллографич. данными.

О. А. Басченко

Os₃(CO)₁₂

1980

5 Д76. Частоты валентных колебаний металл — металлических кластеров. Приближенные вычисления силовых постоянных некоторых малых металлических кластеров. Metal—metal stretching frequencies in metal—cluster complexes. Approximate force constant calculations for some small metal clusters.

Ji, Eur. Soc.

48

элек
рас

ф. 1981 N 5

Oxtop Ian A. «Inorg. Chem.», 1980, 19, № 9, 2825—
2829 (англ.)

Составлены координаты симметрии для октаэдрических кластеров металлов и решены задачи о норм. колебаниях комплексов $\text{Os}_3(\text{CO})_{12}$ и $\text{Ru}_3(\text{CO})_{12}$. Частоты валентных колебаний a_1' , e' равны $158,17 \text{ см}^{-1}$ и $185,149 \text{ см}^{-1}$. Показано, что в хорошем приближении валентные колебания кластеров металлов можно рассматривать независимо от других колебаний. Найдены силовые постоянные связей металл — металл и их взаимодействий, причем $f_{rr} \approx -0,08 k_r$. Три частоты колебаний кластера $\text{Ir}_4(\text{CO})_{12}$ равны $207, 131, 161 \text{ см}^{-1}$, а силовая постоянная взаимодействия связей, не имеющих общего атома иридия, $f_{rr}' \approx -f_{rr}$. Такие же соотношения использованы при решении задач о норм. колебаниях кластеров с мостиковыми лигандами $\text{Mn}_3\text{H}_3(\text{CO})_{12}$, $\text{Pb}_4(\text{OH})_4$ и $\text{Bi}_6(\text{OH})_{12}$, а также кластеров более низкой симметрии $\text{Co}_4(\text{CO})_{12}$, $\text{Rh}_4(\text{CO})_{12}$, $\text{Os}_3(\text{OCH}_3)_2(\text{CO})_{10}$ и др. Наличие мостиков с карбонильными лигандами влечет за собой повышение эффективной силовой постоянной металл — металл приблизительно на 50%.

М. А. Ковнер



1980

Oxton Ian A.

D;
catal.
J. Inorg. Chem., 1980,
19, No. 2825-9

catal. $\text{Os}_3(\text{CO})_{12}-\bar{n}\bar{j}$

$\text{Os}_6(\text{CO})_{18}$

отмеч 9554

1980

16 Бю. Электронное строение $\text{Os}_6(\text{CO})_{18}$. Woolley R. G. The electronic structure of $\text{Os}_6(\text{CO})_{18}$. «Chem. Phys. Lett.», 1980, 71, № 1, 135—138 (англ.)

Данные, полученные ранее для описания электронного строения и структуры MO кластеров карбонилов переходных металлов, в частности в рамках X_α -метода рассеянных волн, использованы для анализа электронного строения $\text{Os}_6(\text{CO})_{18}$ и объяснения ряда экспериментов для этого кластера. На основании известной структуры MO в $\text{Pt}_6(\text{CO})_{12}$ предложена гипотетич. структура верхних валентных MO в $\text{Os}_6(\text{CO})_{18}$, позволяющая объяснить распад, при бомбардировке $\text{Os}_6(\text{CO})_{18}$ электронным пучком. Механизм этого распада, индуцированного

Электронно-
структура

ж 1980 № 16

электронами, обусловлен накачиванием электронов на граничные MO, в основном связанные с MO металлического кластера. Это приводит к увеличению плотности s-электронов и к распаду кластера. В результате проведенного анализа сделан вывод о том, что направления нуклеофильич. р-ций $\text{Cs}_6(\text{CO})_{18}$ определяются степенью участия граничных MO различного типа в кластере, при этом классификация нуклеофилов на «слабые» и «сильные» является свидетельством о том, насколько граничные орбитали карбонилов перекрываются с разрыхляющими s-орбиталями металлического кластера.

И. А. Тополь

$\text{Os}_6(\text{CO})_{18}$

отмечена 9557

1980

8 Д153. Электронная структура $\text{Os}_6(\text{CO})_{18}$. The electronic structure of $\text{Os}_6(\text{CO})_{18}$. Woolley R. G.
«Chem. Phys. Lett.», 1980, 71, № 1, 135—138 (англ.)

На основе качеств. теории MO исследуются карбонильные кластеры осмия. Проводится интерпретация газофазных фотоэмиссионных спектров $\text{Os}_6(\text{CO})_{18}$.

Д.С. СТРИЖКО

Р. 1980 № 8

$O_5\cdot(CO)_{18}$

1980

Yonezawa T.

Kanazawa, Chemistry (Jap.)
1980, 35 N.I.O., 814-9

ref. compell.

corr. Br $H_{k+4} - \bar{m}$

$O_{S_3}(CO)_{12}$

1981

Green J.C., et al.

Inorg. Chem.; 1981,
20, N8, 2595-2602.



(an. $Pu_3(CO)_{12}$; III).

$\text{Os}_6(\text{CO})_{18}$

1981

Green J. C., et al.

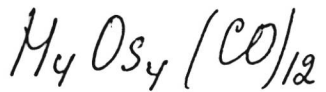
Inorg. Chem., 1981,

20, N8, 2595-2602.

γ;



(an. $\text{Ru}_3(\text{CO})_{12}$; $\text{; } \text{III}$).

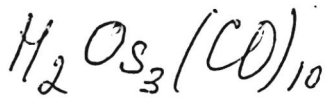


1981

Greer J. C., et al.

Inorg. Chem., 1981, 20,
N⁸, 2595-2602.

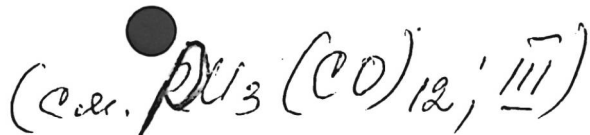
(cet. $\text{P}_{43}(\text{CO})_{12}$; III)



1981

Green J. C. et al.

y; Inorg. Chem., 1981, 20,
N8, 2595-2602.



$Os_3(CO)_{12}$

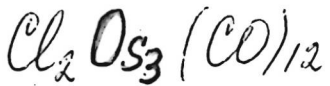
1981

23 Б241. Температурные исследования спектров комбинационного рассеяния $Os_3(CO)_{12}$, $ClO_3(CO)_{12}SnCl_3$, $X_2Os_3(CO)_{12}$, $X=Br$, Cl , J . Разделение частот внутри-молекулярных и решеточных колебаний. Волков В. Е., Губин С. П., Иогансон А. А. «Тез. докл. 14-го Всес. Чугаевск. совещ. по химии комплексов. соедин., 1981. Ч. 1». Иваново, 1981, 72—73

Приведены результаты т-рных исследований спектров КР в области $350-10\text{ см}^{-1}$ нек-рых трехъядерных комплексов осмия. Т-рные исследования позволили выявить 19 линий в низкочастотной области. Произведено их разделение на внутримолек. и решеточные. Уточнено положение частоты колебания E' осмневого цикла. В спектрах $X_2Os_3(CO)_{12}$ при $298^\circ K$ обнаружено по 14 линий в области до 350 см^{-1} . Прослежено их т-рное поведение.

75

Х. 1981, 19, № 23.



1981

Волков В. Е., и др.

Плэз. яоку. 14²⁰ Вел. Чу-
зайск. сокиу. no зенции
Комицеске. соодан., 1981,
Ч. И. Уварова, 1981, 42-73.

($\text{C}_{\text{u}} \text{Os}_3 (\text{CO})_{12}$, III)



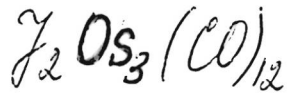
1981

Бонков В. Е. и др.

D;
N;

През. зоокл. 14^{го} Вес. Чу-
вахск. собес. 120 зоологов
Колыванск. колледж., 1981,
4.1. Иваново, 1981, 42-73.

(авт. $\text{Os}_3(\text{CO})_n$; III)



1981

Водков В.Е. и др.

1) i;

Приз. золот. 14^{го} Всес. Чусов.-
евск. собраний по химии
Комицкое. сегодня, 1981,
4.1. Иваново, 1981, 72-73.

(авт. $\text{Os}_3(\text{CO})_{12}$; III)

$O_3(CO)_{12}$ [Omnuck 15260] 1982

Adams D.M., Taylor

I.D.,

UK creeper.

"

garékú

UK creeper

J. Chem. Soc. Faraday
Trans., 1982, 78, N 9,

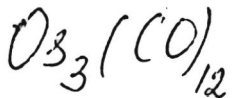
1561-1571.

$O_3(CO)_{12}$ [Onnuck 14316] 1982

Delley B., Marring M.C.;
et al.

Rb. rex.

pacerei. Inorg Chem., 1982, 21,
N6, 2244 - 2253.



1982

Kettle S. F. A., Stang
helliri P. L.

vi; J. Chem. Soc. Dalton

Trans., 1982, N⁷, 1175-
-1178.

(crys. $\text{R}_4\text{O}_3(\text{CO})_{12}$; III)

$O_{S_3}(CO)_{12}$

1982

Kettle S.F.A., Stan -
capiroseme, Ghellini P.L.

pacium

Inorg. Chem., 1982,
21, N.Y., 1449 - 1449.

(c.u. $OS_2Ru(CO)_{12}$; III)

$(\gamma-H)(\gamma-D) Os_3(CO)_{10}$ (отиск 15024) / 1982

2 Д455. ИК-спектр соединения $(\mu-H)(\mu-D)Os_3(CO)_{10}$. On the infrared spectrum of $(\mu-H)(\mu-D)Os_3(CO)_{10}$. Oxton Ian A. «Inorg. Chem.», 1982, 21, № 7, 2877—2878 (англ.)

Изучен ИК-спектр карбонильного комплекса $(\mu-H)(\mu-D)Os_3(CO)_{10}$ (I) в твердой фазе. Проведен колебательный анализ спектров I. ИК-полосы 1222 и 1242 см⁻¹ приписаны вал. колебаниям связей O—H. Частота крутых колебаний групп Os₂H в спектре I составляет 701—710 см⁻¹. Показано, что μ -мостиковые атомы H в структуре I расположены симметрично относительно связей O—H, но занимают неэквив. положения. Отмечено ВЧ-смещение ИК-полосы вал. сим. кол. связи Os—H относительно ИК-полосы асим. вал. кол. этой связи в I. В рамках модели мостиковой структуры с водородными лигандами выполнен расчет величины угла в цепочке связей Os—H—Os, равного 89°. Установлены корреляции между частотами вал. кол. связей Os—H.

*Диаграмма
структурные*

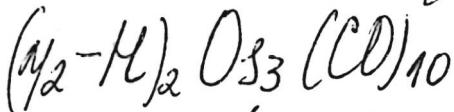
9.1983, 18, №

величиной угла в цепочке связей Os—H—Os и силовыми постоянными связей в I. Предположено, что данная теоретич. модель может быть использована для установления структуры кластерных соединений металлов с водородными лигандами.

И. В. А.



AM. 142 YI 1982



96: 225526h Approximate normal-coordinate calculations in the vibrational spectroscopy of metal cluster complexes. Oxton, I. A. (Sch. Chem. Sci., Univ. East Anglia, Norwich, UK). *J. Mol. Struct.* 1982, 79, 243-6 (Eng). The force const. assocd. with the short Os-Os sepn. in the metal cluster complex $(\mu_2\text{-H})_2\text{Os}_3(\text{CO})_{10}$ was estd. as $199 \text{ N}\cdot\text{m}^{-1}$. This value represents the effect of the bridging Os-H bonds along the Os-Os vector, and it is consequently suggested that direct Os-Os bonding may be negligible.

CEN. NOCM,

ccfje

Os - Os

C. A. 1982, 96, N26.

$O_3S-C(CO)_{15}$

1982

Oxtor I.A., Powell D.B.,
et al.

Li, cípoemue *Jnorg. chim. acta*,
1982, 64, N6, L259 -

● - L261.

($Co_4Fe_5C(CO)_{15}$; III)

$H_2 Os_3(CO)_{10}$ L.O.M. 15251) 1982

6 Б117. Электронное строение металлических кластеров. 2. Фотоэлектронный спектр и расчеты методом молекулярных орбиталей декакарбонидигидридотриосмия. Electronic structure of metal clusters. 2. Photoelectron spectrum and molecular orbital calculations of decacarbonyldihydridotriosmium. Sherwood David E., Hall Michael B. «Inorg. Chem.», 1982, 21, № 9, 3458—3464 (англ.)

фотоэлектр-
спектр,
Д.и.

Измерен фотоэлектронный спектр $H_2Os_3(CO)_{10}$ (I). Отнесения ионизац. полос сделаны на основе сопоставления с исследованными ранее $Os_3(CO)_{12}$ (II) и расчетов модельных соединений методом Фенске—Холла. Основные отличия спектра I от спектра II состоят в исчезновении ионизац. полосы, отвечающей прямой связи Os—Os, и появлении полос, отвечающих мостико-вым связям Os—H—Os. Существенно различаются части спектров, содержащие ионизац. максимумы электронов,

ж. 1983, 19, N 6

находящихся на псевдо- t_{2g} -МО (интерпретируемых как связывающие в фрагменте Os—CO и антисвязывающие в фрагменте Os—Os). Расчеты методом МО, интерпретированные в терминах псевдооктаэдрич. фрагментов $\text{Os}(\text{CO})_4$ и $\text{Os}(\text{CO})_3$, показывают, что перестройка псевдо- t_{2g} орбиталей приводит к появлению частичного связывания Os—Os между атомами, связанными водородным мостиком. Замена мостиковых атомов H на метокси группы должна приводить к переносу электронной плотности на низколежащую разрыхляющую орбиталь Os—Os и к увеличению расстояния между атомами металла, что и наблюдается в эксперименте. В. Фаустов

$\text{Os}_3(\text{CO})_{12}$

Om. 18493) 1983

8) 10 Б1147. Электронная структура кластеров металлов. 5. Фотоэлектронные спектры и расчет молекулярных орбиталей декакарбонилов триосмия с водородными и галогенными мостиками. Electronic structure of metal clusters. 5. Photoelectron spectra and molecular orbital calculations of hydrogen- and halogen-bridged triosmium decacarbonyls. Chesky P. T., Hall M. B. «Inorg. Chem.», 1983, 22, № 22, 3327—3335 (англ.)

Изучены фотоэлектронные спектры $(\mu\text{-H})(\mu\text{-X})\text{Os}_3(\text{CO})_{10}$ и $(\mu\text{-X})_2\text{Os}_3(\text{CO})_{10}$, X=Cl, Br, J. Обнаружено уменьшение интенсивности спектров в области ионизации связей Os—Os в исследованных соединениях по сравнению с $\text{Os}_3(\text{CO})_{12}$. Расчет методом MO ЛКАО показывает, что прямые связи металл—металл имеются только во фрагментах $(\text{CO})_4\text{Os}—\text{Os}(\text{CO})_3$, а взаимодей-

Спектр, структура

ж. 1984, 19, N 10

ствия $(CO)_3Os-Os(CO)_3$ являются слабосвязывающими в соединениях с мостиками μ -Н и μ -Х и слаборазрыхляющими в соединениях с $(\mu$ -Х)₂. Расчет методом MO ЛКАО указывает на сильное взаимодействие орбиталей t_{2g} -типа в Os(CO)₃ с мостиковыми лигандами Н и Х, что объясняет заметный сдвиг Пт ионизации уровней t_{2g} .

В. И. Нефедов

Os-опах. соедин.

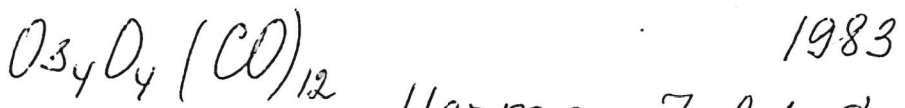
1983

Granozzi Gaetano,
Tondello Eugenio.,
et al.

Феелкимром.

составлене Inorg. Chem., 1983,
22, N5, 744-748.

(см Ru-опах. соедин. III)



Herman Zelek S.

Int. J. Quantum Chem., 1983,

empyx - 23, N3: Proc. 4 Int. Congr.
myna. Quantum Chem., Uppsala,

13-20 June, 1982. Contrib.

Pap., Pt 3, 921-943.

(crys. $\text{Ni}(\text{CO})_4$; II)

$H_4Os_4(CO)_{12}$ 1983

Kettle Sidney F.
A., Rossetti Rosanna,
et al.

UK-chekmp,
отнесение
раствор
 $P(CO)$

Inorg. Chem., 1983,
22, N4, 661-665.

(см. $H_4Ru_4(CO)_{12}; ^{111}$)

Карбонильное 1983
вещество D3 Leopold D. F.,
Vaida V.

литография. J. Amer. Chem. Soc.,
1983, 105, № 23,
6809-6811.

(см. Карбонильные конц. Re; III)

$\text{Os}(\text{CO})_5$

1984

11 Б4456. ИК-лазерный пиролиз и введение меченых изотопов в металлоорганические соединения. IR laser pyrolysis and the isotopic labelling of organometallic compounds. Bristow Neil J., Moore Ваггу D., Poliakoff Martyn, Ryott Graham J., Тигнер James J. «J. Organomet. Chem.», 1984, 260, № 2, 181—187 (англ.)

Синтезированы $\text{Os}(\text{CO})_5$, $\text{Fe}(\text{CO})_3(\text{C}_4\text{H}_6)$ и ряд др. комплексов карбонилов Os, Fe и Mn, в том числе содержащих ^{13}CO . Газофазные р-ции карбонилов с лигандаами (CO , ^{13}CO , C_4H_6 и др.) инициировали излучением непрерывного CO_2 -лазера (0,5—4 Вт, 942—948 cm^{-1}), к-рое поглощалось добавкой SF_6 . Газовая смесь типичного состава $\text{M}(\text{CO})_x/\text{SF}_6/\text{лиганд}$ 2/12/200 мм прокачивалась через реактор циркуляц. насосом, ход процесса контролировали по ИК-спектрам. Скорость р-ций увели-

(44)

⊗

X. 1984, 19, N 11

$\text{Fe}(\text{CO})_3(\text{C}_4\text{H}_6)$
комплекс карбонил $^{13}\text{O}_3$, ^{13}Fe , ^{55}Mn

чивается с насыщением при увеличении парц. давл. SF_6 до ≈ 10 мм. Увеличение мощности излучения приводит к разл. карбонилов, к-рое частично подавляется добавкой CO. Отмечены случаи внезапного разрушения солевых окон реактора во время облучения. При объеме установки 1,5 л за эксперимент получали 50—100 мг продуктов.

Г. Шмерлинг

$[O_8_3(CO)_{12}]_{P-P}$

1984

Gilson Trevor R.

CKP,

Pi;

J. Chem. Soc. Dalton
Trans., 1984, N.2, 149-
- 153.

(act. $[Ru_3(CO)_{12}]_{P-P}$; III)



1984

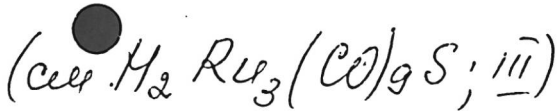
Granozzi Gaetano,
Beroni Benzo, et al.

ромо-

зеленый

зеленый

Inorg. Chem. Acta,
1984, 84, N1, 95-100.



$O_3(CN)_6^{4-}$ (01.21008) 1984

Hipps R.W., Williams

Crekamp, S.D., Mazarer U.

ii; Inorg. Chem., 1984,
23, N₂₂, 3500-3505.

$O_{35}(CO)_{16}$

1984

Minot C., Criado -
Sancho M.

структ.,
обзор
литер.,
мето.
практ.

Nouv. J. Chim. 1984,
8(8-9), 537-46.

(см. $Fe_2(CO)_9$; III)

$O_8_3 (CO)_{12}$

1984

Yang C. Y.

Report 1984, DOE/ER/

Y, neopent. 13011-T1; Order N°
paerim. DE84014182, 13pp, From.

Energy Res. Abstr. 1984,
9(18), ● Abstr. N° 35895.

(crys. $Cr(CO)_6$; $\overline{1}\overline{1}\overline{1}$)

D8 Lie

LM. 23817)

1985

Steitzner G., Via G. H.,

Lytle F. W. et al.:,

(2, duwe-
man. krac-
mepot)

J. Chem. Phys., 1985,
83, N1, 353-360.

D.S.H.(2)

OM. 222B1(A)

1985

Squires R. R.,

90

J. Amer. Chem. Soc.,
1985, 107, N 15, 4385 -
- 4390.

$\text{Os}(\text{CO})_5$

1985

Ziegler Tom.

AH^+

Organometallics, 1985,
4, N.Y., 675-680.

($\text{C}_{24}\text{H}_4\text{Fe}(\text{CO})_5$; III)

$O_3(CO)_{14}(PMe_3)$

1986

13 Б1327. $Os_4(CO)_{14}(PMe_3)$: несимметричный плоский кластер, проявляющий повышенную нежесткость.
 $Os_4(CO)_{14}(PMe_3)$: An irregular, planar cluster showing remarkable nonrigidity. Martin Lillian R., Einstein Frederick W. B., Pomeroy Roland K. «J. Amer. Chem. Soc.», 1986, 108, № 2, 338—340 (англ.)

Описан синтез несимм. кластера $Os_4(CO)_{14}(PMe_3)$ (I). Методом РСА показано, что в тв. состоянии металлич. остов кластера имеет плоское строение и содержит две короткие и две длинные связи Os—Os. Подобное строение кластера объясняется в терминах трехцентровых двухэлектронных связей металл—металл. Спектр ЯМР ^{13}C кластера, обогащенного ^{13}CO , при $-115^{\circ}C$ в р-ре согласуется со структурой I в тв. состоянии. Однако при повышении т-ры наблюдаются изменения в спектре, к-рые удается объяснить, лишь предположив, что происходит перегруппировка кластера, затрагивающая не только его лиганды, но и сам металлич. остов.

А. Н. Китайгородский

ж. 1986, 19, № 13

$\text{Os}(\text{CO})_5$ (DM 27760) 1987

Ziegler T., Tschinke V.,
et al.,

$\delta(\text{O}_3\text{-CO})$ J. Amer. Chem. Soc.,
1987, 109, N 16, 4825-
● - 4837,

$O_{\text{S}_2}(\text{O}_2\text{CCH}_3)_4\text{Cl}_2$

1988

(ν_i)

109: 101038t Infrared, resonance Raman, and excitation profile studies of $\text{Os}_2(\text{O}_2\text{CCl}_3)_4\text{Cl}_2$ and $\text{Os}_2(\text{O}_2\text{CCD}_3)_4\text{Cl}_2$. The assignment of the osmium-osmium stretching vibration for a complex involving an osmium-osmium multiple bond. Clark, Robin J. H.; Hempleman, Andrew J.; Tocher, Derek A. (Christopher Ingold Lab., Univ. Coll. London, London, UK WC1H 0AJ). *J. Am. Chem. Soc.* 1988, 110(18), 5968-72 (Eng). Extensive Raman studies (1525-40 cm^{-1}) of $\text{Os}_2(\text{OAc})_4\text{Cl}_2$ led to the identification of the 3 strong bands, ν_1 , ν_2 , and ν_3 , at 229, 393, and 292 cm^{-1} to the key skeletal stretching modes, $\nu(\text{OsOs})$, $\nu(\text{OsO})$, and $\nu(\text{OsCl})$, resp. Raman spectra of the complex at resonance with the intense electronic band at $\lambda_{\text{max}} = 383$ nm lead to the development of a 6-membered overtone progression in ν_1 as well as combination band progressions in ν_1 based upon one quantum of either ν_2 or ν_3 . This indicates that the principal structural change attendant upon excitation to the resonant state is along the OsOs coordinate. Fourier transform IR spectra (3500-40 cm^{-1}) were also obtained. Acetate deuteration provides conclusive evidence for many of the IR and Raman band assignments. The study provides the 1st firm identification of $\nu(\text{OsOs})$ for a multiply bonded species.

C. A. 1988, 109, N 12.

Os(CO)₅

1988

- 3 Б1140. Строение и природа химической связи в карбонилах и нитрозилах переходных металлов. 3. Строение молекулы пентакарбонила осмия по данным газовой электронографии. Structure and bonding in transition-metal carbonyls and nitrosyls. 3. Molecular structure of osmium pentacarbonyl from gas-phase electron diffraction / Huang J., Hedberg K., Pomeroy R. K. // Organometallics.— 1988.— 7, № 9.— С. 2049—2053.— Англ.

Методом газовой электронографии с учетом трехатомного рассеяния показано, что молекула Os(CO)₅ имеет форму тригональной бипирамиды (симметрия D_{3h}). Средн. длина связи Os—C составляет 1,962(4) Å. Выдвинуты соображения по поводу того, что аксиальные связи на 0,047(46) Å длиннее экваториальных. Учет колебат. эффектов не позволил повысить надежность определения этой важной х-ки. Расстояние C≡O равно 1,142(4) Å и согласуется с результатами для В. С. Маstryukov

М-11.

X.1989, № 3

ABCD

[Om. 32675]

1989

Draouidi A., Seward M.,
et al.,

mekong.

Cnrykypa
il obcje y. Mol. Struct., 1989,
198, 215-221.

Osc(2)

1990

Davoli A, Suard. M.,
et al.

J. Mol. Struct. Theo-
chim. 1990. 210. C: 139 - 145.

(cell. \bullet $TiCO_3$; III)

D_3CH_2^+

1994

Irikura K.K., Boddard W.A.(II),

J. Amer. Chem. Soc.

v.n. 1994, 116, N19, p. 8733-8740

P.D.X.N6, 1995, 651068

$\text{Os}(\text{NBut})_4$
symm

1994

122: 89899h Molecular structure of tetrakis(tert-butylimido)=osmium(VIII), determined in the gas phase by electron diffraction. Rankin, David W. H.; Robertson, Heather E.; Danopoulos, Andreas A.; Lyne, Paul D.; Mingos, D. Michael P.; Wilkinson, Geoffrey (Dep. Chem., Univ. Edinburgh, Edinburgh, UK EH9 3JJ). *J. Chem. Soc., Dalton Trans.* 1994, (10), 1563-9 (Eng). The mol. structure of $\text{Os}(\text{NBut})_4$ was detd. in the gas phase by electron diffraction. The NBut groups are in a distorted-tetrahedral arrangement around the central osmium atom, and bent in such a way that the overall mol. symmetry is reduced to S_4 . The Os-N bond length (r_s) is 175.0(3) pm, and Os-N-C bond angle is 156.4(15) $^\circ$. Two of the N-Os-N angles (about the S_4 axis) are 104.6(14) $^\circ$, and the other four are 111.9(7) $^\circ$. Other important parameters are $r(\text{N}-\text{C})$ 147.6(9), $r(\text{C}-\text{C})$ 151.7(4) pm, and N-C-C 107.0(5) $^\circ$. Geometrical parameters for $\text{Os}(\text{NMe})_4$ and $\text{Os}(\text{NH})_4$, optimized by using d.-functional theory, are presented, and interpreted with the aid of extended-Hueckel calcns.

22j. 89899h
(10) 1563-9 (Eng)

2 (Os-N)

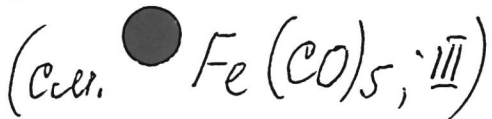
4 OsNC

4 N-Os-N

C.A. 1995, 122, N8

$O_3(CO)_5$ Ehlers A.W., Frenking G. 1995

$\Delta_f H, D_0$, Organometallics 1995,
ciiрyкci. 14(1), 423-6.
изданиe
изд. пачем



$O_8(CO)_5$

1995

Li Jian, Schreckenbach
G., et al.

et. n.,

J. Amer. Chem. Soc. 1995,

\mathcal{D}_C

117, N. C. 486-494.

( $Ni(CO)_4$; III)

1995

014 34363

F: Os(CO)5

P: 3

5Б1141. Теоретическое изучение колебательных спектров карбонилов переходных металлов M(CO)[6] [M=Cr, Mo, W], M(CO)[5] [M=Fe, Ru, Os] и M(CO)[4][M=Ni, Pd, Pt]. Theoretical study of the vibrational spectra of the transition metal carbonyls M(CO)[6] [M=Cr, Mo, W], M(CO)[5] [M=Fe, Ru, Os], and M(CO)[4][M=Ni, Pd, Pt] / Jonas Volker, Thiel Walter // J. Chem. Phys. - 1995. - 102, N 21. - C. 8474-8484. - Англ.

PMX 1997

Методы ХФ, МП2 и функционала плотности (ФП) с учетом градиентных поправок и с использованием эффективных остовных потенциалов и поляризованных двух- и трехэкспонентных базисов использованы для расчета в гармоническом приближении силовых полей указанных в заглавии комплексов. Результаты, полученные в рамках метода ФП, находятся в очень хорошем согласии с эксперим. данными. Метод ХФ дает неудовлетворительные результаты, приближение МП2 согласуется с эксперим. данными только для 5d- и частично для 4d-комплексов, но не для 3d-комплексов. Библ. 101.

$H_2Os(CO)_4$

OT 38238

1996

№ 23 Б1268. Микроволновые измерения молекулярной структуры тетракарбонилдигидроосмия, классического дигидрида. Microwave molecular structure measurements for tetracarbonyldihydroosmium, a classical dihydride / Kukolich S. G., Sickafuse S. M., Breckenridge S. M. // J. Amer. Chem. Soc. — 1996. — 118, № 1. — С. 205—208. — Англ. . Место хранения ГПНТБ

На микроволновом фурье-спектрометре с импульсным соплом в области частот 4—12 ГГц измерены врачательные спектры шести изотопомеров $H_2Os(CO)_4$. Полученные данные отнесены к комплексу почти октаэдричесимметрии C_{2v} с расстоянием между атомами водорода $r_{HH} = 2,40(2)$ Å, что указывает на принадлежность комплекса к классич. дигидриду.

С. Н. Мурзин

Браузам
Сникер

X. 1996, N 23

H₂O₃(CO)₄

OT 38238

1996

124: 70071b Microwave Molecular Structure Measurements for Tetracarbonyldihydroosmium, a Classical Dihydride. Kukolich, S. G.; Sickafuse, S. M.; Breckenridge, S. M. (Department of Chemistry, University of Arizona, Tucson, AZ 85721 USA). *J. Am. Chem. Soc.* 1996, 118(1), 205-8 (Eng). Microwave rotational spectra for six isotopomers of $\text{H}_2\text{Os}(\text{CO})_4$ were measured in the 4-12 GHz range using a Flygare-Balle-type spectrometer. The 18 rotational consts. from these isotopomers were used to det. eight structural parameters describing the gas-phase structure of this complex. This near-octahedral complex has C_{2v} symmetry and the dipole moment lies along the c-principal axis for the normal isotopomer. The distance between H atoms, obtained directly from exptl. structural parameters, is $r_{\text{HH}} = 2.40(2)$ Å. This rather long H-H distance indicates that this is clearly a dihydride rather than a dihydrogen complex. The Os-H bond lengths are $r_{\text{OsH}} = 1.72(1)$ Å. The Os-carbonyl C bond lengths for axial and equatorial carbonyl groups are $r_{\text{OeC}_1} = 1.96(1)$ Å and $r_{\text{OeC}_3} = 1.97(2)$ Å. Results for other structural parameters obtained using least-squares fitting and the structural parameters obtained using the Kraitchman method are presented and discussed. No evidence for internal motion was obsd. for this complex.

C.A. 1996, 124, N6.

M. B. CLEKAMP,

ll.11.

$H_2O_3(CO)_4$ (OM 38356) 1996

Korenman · Volker Jonas, Walter Kiel,
Gremp, J. Chem. Phys., 1991, 105,
McOwen · Packen · C91, 3636

$\text{Os}(\text{CO})_5$

van Wuelen, Christoph, 1996

Do, Cnygen,
Meuren,
Pacem
J. Chem. Phys., 1996,
105 (13), 5485 - 93

($\text{Cu Cr}(\text{CO})_6$; $\underline{\text{III}}$)

$O_3(CO)_6^{2+}$

(Om. 39141)

1997

Andreas W. Ehlers et al.,

Do,

Korntan.
Sacramento Inorg. Chem. 1997, 36,
N22, 5031-36.

$[D_8(CO)_6]^{II}$ 1997
Ekkers A.W. et al.,

D₀, D_i, Inorg. Chem., 1997, 36(22),
meop- 5031-36
pacem

(all. $[Hf(CO)_6]^{II}$; III)



1997

Szilagyi R.L.; Frenking.

cmp-pa, Organometallics 1997,
environ. 16(22), 4807 - 15
Pi, do



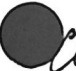
Os(CO)₅

1997

Zuñó, Francisco J.; et al

ab initio
pacrem

Congr. Iberoam. Quim.
Trorg., 6th 1997, 425-28

(all. Fe( CO₅; III)

OsCO

1998

Qm. 39460

no epoxides
no methyls.
Heppell

129: 221318u Potential energy surfaces of OsCO. Tan, Hang; Liao, Muzhen; Balasubramanian, K. (Department of Chemistry and Biochemistry, Arizona State University, Tempe, AZ 85287-1604 USA). *Chem. Phys. Lett.* 1998, 290(4,5,6), 458-464 (Eng), Elsevier Science B.V.. Potential energy surfaces for the low-lying states of osmium carbon monoxide (OsCO) have been studied using the complete active space multi-configuration SCF (CAS-MCSCF) followed by multireference singles + doubles CI (MRSDCI). Addnl., spin-orbit effects were included through the relativistic CI method. It is found that the ground state of OsCO is an 0^- spin-orbit state which is a mixt. of $^3\Sigma^-$ and $^1\Sigma^+$. Spin-orbit coupling not only splits the various electronic states of OsCO but also mixes different electronic states.

C.A. 1998, 129, N17

F: Os₂(CO)₉

P: 3

132:15796 Molecular Structures of M₂(CO)₉ and
M₃(CO)₁₂ (M = Fe, Ru, Os): Theoretical Insights.

Hunstock, Elke; Mealli, Carlo; Calhorda,
Maria Jose Reinhold, Joachim Institut fuer
Physikalische und Theoretische Chemie, Universitaet
Leipzig Leipzig D-04103, Germany Inorg. Chem.,
38(22), 5053-5060 (English) 1999 A different
no. of bridging carbonyls is found in bi- or
trinuclear clusters having the title formulas.
Comparative calcns. at the SCF, MP2, DFT levels of
theory show that only the latter is able to
describe proper energetics of various isomers of
the whole triad. For the first-row tran metal, DFT
gives excellent agreement with the exptl.
structures, whereas approach fails completely.
Conversely for the second- and third-row meta best
agreement with the expt. is obtained by the MP2

1999

C.A.2000, 132

optimizations. The computational results, assocd. with a qual. MO anal., allow one to conclu the structural preferences are detd. by a crit. balance of metal-bridge b metal-metal bonding, and intermetallic repulsion. Although the M-M bond is expected to be 1 in all cases, the bridge-supported bond is exptl. and computationally shorter than the unsupported one. By contrast, the trend the overlap population (OP) is reversed, with even neg. values for the sh bridge bonds. For the latter, only a weak attractive interaction stems f almost pure t_{2g} orbitals, taken as metal lone pairs or eventually respons for back-donation (formation of metal-bridge .sigma. bonds). Thus, the n values are consistent with a prevailing repulsion between the latter leve the iron systems, with more contracted metal orbitals, the direct metal-m repulsion is relatively weak while the metal-bridge bonds are sufficientl strong. This is not equally true for the more diffuse ruthenium and osmi orbitals, so the alternative nonbridged structure is preferred.

F: Os₃(CO)₁₂

1999

P: 3

132:15796 Molecular Structures of M₂(CO)₉ and
M₃(CO)₁₂ (M = Fe, Ru, Os): Theoretical Insights.

Hunstock, Elke; Mealli, Carlo; Calhorda, Maria
Jose Reinhold, Joachim Institut fuer Physikalische und
Theoretische Chemie, Universitaet Leipzig Leipzig D-
04103, Germany Inorg. Chem., 38(22), 5053-5060
(English) 1999 A different no. of bridging
carbonyls is found in bi- or trinuclear clusters having
the title formulas. Comparative calcns. at the SCF,
MP2, DFT levels of theory show that only the latter is
able to describe proper energetics of various isomers of
the whole triad. For the first-row tran metal, DFT
gives excellent agreement with the exptl. structures,
whereas approach fails completely. Conversely for the
second- and third-row meta best agreement with the expt.
is obtained by the MP2 optimizations. The computational

C.A.2000, 132

results, assocd. with a qual. MO anal., allow one to conclu the structural preferences are detd. by a crit. balance of metal-bridge b metal-metal bonding, and intermetallic repulsion. Although the M-M bond is expected to be 1 in all cases, the bridge-supported bond is exptl. and computationally shorter than the unsupported one. By contrast, the trend the overlap population (OP) is reversed, with even neg. values for the sh bridge bonds. For the latter, only a weak attractive interaction stems f almost pure t_{2g} orbitals, taken as metal lone pairs or eventually respons for back-donation (formation of metal-bridge .sigma. bonds).

Thus, the n values are consistent with a prevailing repulsion between the latter leve the iron systems, with more contracted metal orbitals, the direct metal-m repulsion is relatively weak while the metal-bridge bonds are sufficientl strong. This is not equally true for the more diffuse ruthenium and osmi orbitals, so the alternative nonbridged structure is preferred.

O_3CO^+
 $O_3(CO)_x$
 $O_3(CO)_x^-$
($x=1-4$)
lik. creep
samples

(Om. 40151)

1999

Mingfei Zhou and
Lester Andrews*,

J. Phys. Chem.
1999, 103, 6956-68

$\text{Fe}_3(\text{CO})_{12}$ 2000

Hienstock, Elke; et al.

CMP-PA, Organometallics 2000,
CB-PA, 19(22), 4624-28
meopen-
pacet

(all. $\text{Fe}_3(\text{CO})_{12}$, II)

D₂OsCO

(DM. 41364)

2002

D₂OsCO

D₂OsCO⁻

D₂Os(CO)₂

UK check A106, 4042-4053.

b
Mafusse